

- [4] Huang C. Y. et al. Nature, 1987, vol. 328, p. 403—405.
[5] Ayyub P. et al. J. Phys. C: Sol. St. Phys., 1987, vol. 20, p. L673—L676.
[6] Jhara H. et al. Jap. J. Appl. Phys., 1987, vol. 26, N 8, p. 1413—1415.
[7] Little W. A. Phys. Rev., 1964, vol. 134, N 6A, p. 1416—1424.
[8] Гинзбург В. Л. Phys. Lett., 1964, vol. 13, p. 101—110; Проблема высокотемпературной сверхпроводимости / Под ред. В. Л. Гинзбурга и Д. А. Киржаниц. М.: Наука, 1977.
[9] Miller D. L. et al. Phys. Rev. B, 1976, vol. 13, p. 4834—4844.
[10] Gough C. E. et al. Nature, 1987, vol. 326, N 6116, p. 855—857.
[11] Anderson P. W. Science, 1987, vol. 235, p. 1196—1201.
[12] Emery V. J. Phys. Rev. Lett., 1987, vol. 58, N 26, p. 2794—2797.
[13] Мойжес Б. Я., Супрун С. В. ФТТ, 1988, т. 30, № 3, с. 901—903.
[14] Robinson A. L. Science, 1987, vol. 237, p. 1115—1117.
[15] Вонсовский С. В. Магнетизм. М.: Наука, 1971. 1032 с.
[16] Уайт Р., Джебелл Т. Дальний порядок в твердых телах. М.: Мир, 1982. 448 с.
[17] Greene R. L. et al. Sol. St. Commun., 1987, vol. 63, N 5, p. 379—384.
[18] Kitaoka Y. J. Phys. Soc. Jpn., 1987, vol. 56, N 9, p. 3024—3029.
[19] Jonker G. H., van Sauten J. H. Physica, 1950, vol. 16, p. 337—342, 599—604.
[20] Zeuer C. Phys. Rev., 1951, vol. 82, p. 403—420.
[21] Dou S. X. et al. Appl. Phys. Lett., 1987, vol. 51, N 7, p. 535—537.
[22] Wang Huisheng et al. Chinese Phys. Lett., 1988, vol. 5, N 1.
[23] Шкловский Б. И., Эфрос А. А. Электрические свойства легированных полупроводников. М.: Наука, 1979. 416 с.
[24] Kitazawa K. et al. Preprint, Submitted to Jpn. J. Appl. Phys., 1988.
[25] Lendolt Bornstein. Berlin: Springer Verlag, 1962, Bd II, 9 Teil.

Физико-технический институт
им. А. Ф. Иоффе АН СССР
Ленинград

Поступило в Редакцию
9 февраля 1988 г.

УДК 535.56

Физика твердого тела, том 30, № 7, 1988

Solid State Physics, vol. 30, № 7, 1988

О ВЛИЯНИИ ЭЛЕКТРИЧЕСКОГО ПОЛЯ И МЕХАНИЧЕСКОГО НАПРЯЖЕНИЯ НА ГИРОТРОПНЫЕ И ПРЕЛОМЛЯЮЩИЕ СВОЙСТВА СЕГНЕТОЭЛЕКТРИКОВ—СЕГНЕТОЭЛАСТИКОВ

И. В. Бережной, Р. О. Влох

Эффекты пространственной дисперсии связаны в основном с наличием антисимметричной добавки к тензору диэлектрической проницаемости

$$\epsilon_{ij} = \epsilon_{ij}^0 + i\gamma_{ijk}k_k = \epsilon_{ij}^0 + ie_{ijkl}g_{lk}k_k,$$

где γ_{ijk} — антисимметричный полярный тензор второго ранга, g_{lk} — аксиальный тензор второго ранга (тензор гирации), k_k — волновой вектор [1]. Изменение действительной части ϵ_{ij} может быть вызвано различного рода воздействиями. Так, например, хорошо известные эффекты электро- и упругооптики и электро- и упругогирации описываются соотношениями

$$\Delta Q_{ij} = r_{ijk}E_k + p_{ijkl}X_{kl}, \quad \Delta g_{ij} = \gamma_{ijk}E_k + \beta_{ijkl}x_{kl},$$

где ΔQ_{ij} — приращение поляризационных констант; X_{ke} — механическая деформация; E_k — напряженность электрического поля; r_{ijk} , γ_{ijk} и p_{ijkl} , β_{ijkl} — полярные и аксиальные тензоры третьего и четвертого рангов соответственно.

Как будет показано ниже, для существования связи между указанными эффектами необходимо выполнение следующих условий: 1) тензоры X_{kl} , E_k , a_{ij} и g_{ij} должны преобразовываться по одному неприводимому представлению точечной группы симметрии кристалла; 2) тензоры r_{ijk}

Соотношение между электро- и упругооптическими и электро- и упругогириационными константами в кристаллах различных групп симметрии
 $(x_{ij} = e_{ijk}E_k)$, e_{ijk} — коэффициенты электромеханической связи

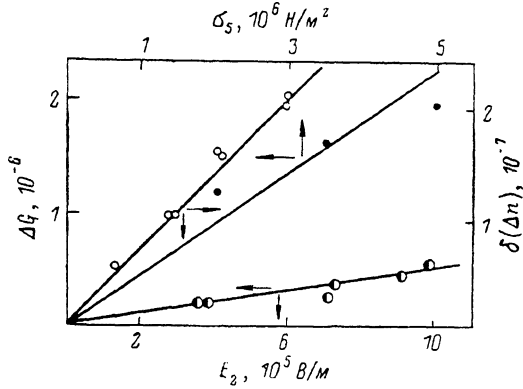
Изменение симметрии при фазовом переходе	Компоненты вектора спонтанной поляризации	Соотношения для компонент тензоров электро- и упругооптики и электро- и упругогириации в парафазе
$23 \rightarrow 222$	P_1, P_2, P_3	$\beta_{44}/p_{44} = \gamma_{41}/r_{41}$
$6 \rightarrow 2$	P_1, P_2	$\frac{\beta_{44}e_{41} + \beta_{45}e_{42}}{p_{44}e_{41} + p_{45}e_{42}} = \frac{\gamma_{41}}{r_{41}}$
$622 \rightarrow 2$	P_1, P_2	$\frac{\beta_{44}e_{42} - \beta_{45}e_{41}}{p_{44}e_{42} - p_{45}e_{41}} = \frac{\gamma_{42}}{r_{42}}$
$32 \rightarrow 2$	P_1	$\beta_{44}/p_{44} = \gamma_{41}/r_{41}$
	P_2	$\frac{\beta_{11}e_{11} - \beta_{12}e_{11} + \beta_{14}e_{41}}{p_{11}e_{11} - p_{12}e_{11} + p_{14}e_{41}} = \frac{\gamma_{11}}{r_{11}}$
$3 \rightarrow 1$	P_1, P_2	$\frac{\beta_{44}e_{41} + \beta_{41}e_{11}}{p_{44}e_{41} + p_{41}e_{11}} = \frac{\gamma_{41}}{r_{41}}$
$422 \rightarrow 2$	P_1, P_2	$\frac{\beta_{12}e_{11} - \beta_{11}e_{11} - \beta_{14}e_{41} + \beta_{25}e_{51} + \beta_{16}e_{22}}{p_{12}e_{11} - p_{11}e_{11} - p_{14}e_{41} + p_{25}e_{51} + p_{16}e_{22}} = \frac{\gamma_{11}}{r_{11}}$
$4 \rightarrow 2$	P_1, P_2	$\frac{2\beta_{41}e_{11} + \beta_{44}e_{41} + \beta_{45}e_{51} - \beta_{52}e_{22}}{2p_{41}e_{11} + p_{44}e_{41} + p_{45}e_{51} - p_{52}e_{22}} = \frac{\gamma_{41}}{r_{41}}$
$\bar{4}2m \rightarrow 2$	P_1, P_2	$\frac{2\beta_{52}e_{11} + \beta_{45}e_{41} - \beta_{44}e_{51} + \beta_{41}e_{22}}{2p_{52}e_{11} + p_{45}e_{41} - p_{44}e_{51} + p_{41}e_{22}} = \frac{\gamma_{51}}{r_{51}}$
$\bar{4} \rightarrow 1$	P_1	$\frac{2\beta_{16}e_{11} - \beta_{25}e_{41} - \beta_{14}e_{51} + \beta_{68}e_{22}}{2p_{16}e_{11} - p_{25}e_{41} - p_{14}e_{51} + p_{68}e_{22}} = \frac{\gamma_{22}}{r_{22}}$
$222 \rightarrow 2$	P_1, P_2, P_3	$\beta_{44}/p_{44} = \gamma_{41}/r_{41}$
$2 \rightarrow 1, 2 \parallel Z$	P_1	$\frac{\beta_{44}e_{41} - \beta_{45}e_{51}}{p_{44}e_{41} - p_{45}e_{51}} = \frac{\gamma_{41}}{r_{41}}, \quad \frac{\beta_{45}e_{41} + \beta_{44}e_{51}}{p_{45}e_{41} + p_{44}e_{51}} = \frac{\gamma_{42}}{r_{51}}$
	P_2	$\frac{\beta_{44}e_{42} - \beta_{45}e_{52}}{p_{44}e_{42} - p_{45}e_{52}} = \frac{\gamma_{42}}{r_{42}}, \quad \frac{\beta_{45}e_{42} + \beta_{44}e_{52}}{p_{45}p_{42} + p_{44}e_{52}} = \frac{\gamma_{41}}{r_{52}}$
	P_1	$\frac{\beta_{44}e_{41} + \beta_{45}e_{51}}{p_{44}e_{41} + p_{45}e_{51}} = \frac{\gamma_{41}}{r_{41}}, \quad \frac{\beta_{45}e_{41} + \beta_{55}e_{51}}{p_{54}e_{41} + p_{55}e_{51}} = \frac{\gamma_{51}}{r_{51}}$
	P_2	$\frac{\beta_{44}e_{42} + \beta_{45}e_{52}}{p_{44}e_{42} + p_{45}e_{52}} = \frac{\gamma_{42}}{r_{42}}, \quad \frac{\beta_{54}e_{42} + \beta_{55}e_{52}}{p_{54}e_{42} + p_{55}e_{52}} = \frac{\gamma_{52}}{r_{52}}$

и γ_{ijk} , а также p_{ijkl} и β_{ijkl} должны иметь одинаковый вид; 3) кристалл должен находиться в парапараллельной—парапластической фазе.

При выполнении первого условия величины a_{ij} и g_{ij} будут тензорно связанными с соответствующими полевыми величинами. Необходимость второго условия связана с тем, что приложение к кристаллу электрического поля или механического напряжения должно вызывать одинакового типа изменение индикаторы и гирационной поверхности. Так, например, для кристаллов, обладающих точечной группой симметрии 222, величины Δa_5 , Δg_5 , X_5 и E_2 связаны следующим образом:

$$\Delta Q_5 = r_{52}E_2, \quad \Delta g_5 = \gamma_{52}E_2, \quad \Delta Q_5 = p_{55}X_5, \quad \Delta g_5 = \beta_{55}X_5,$$

т. е. действие электрического поля и деформации приводят к повороту индикаторы и гиационной поверхности вокруг оси Y . Если исследуемый кристалл претерпевает сегнетоэлектрический—сегнетоэластический фазовый переход, то для электрически и механически свободного образца безразлично, описывается ли изменившаяся при фазовом переходе гиациция и двупреломление через спонтанную деформацию или через спонтанную поляризацию. Так как коэффициенты электро- и упругооптического и электро- и упругогиационального эффектов должны равняться тем же



Зависимости приращения двупреломления и скалярного параметра гиациции от механического напряжения и электрического поля в кристаллах $\text{NaNH}_4\text{C}_4\text{H}_4\text{O}_6 \cdot 4\text{H}_2\text{O}$ ($T=287 \text{ K}$, $\lambda=632.8 \text{ nm}$, $k \parallel \langle 101 \rangle$).

коэффициентам индуцированных эффектов в парафазе, то при температурах $T > T_c$ будут выполняться соотношения

$$\Delta Q_{ij} = r_{ijkl} E_k = p_{ijkl} X_{kl}, \quad \Delta g_{ij} = \gamma_{ijkl} E_k = \beta_{ijkl} X_{kl}.$$

В этом и состоит сущность третьего условия, исходя из которого можно получить уравнения

$$\beta_{ijkl}/p_{ijkl} = \gamma_{ijkl}/r_{ijkl}. \quad (1)$$

В таблице представлено это соотношение для различных групп симметрии.

Выполнимость соотношения (1) была экспериментально установлена в кристаллах аммониевой сегнетовой соли $\text{NaNH}_4\text{C}_4\text{H}_4\text{O}_6 \cdot 4\text{H}_2\text{O}$, претерпевающих сегнетоэлектрический—сегнетоэластический фазовый переход с изменением симметрии $222 \rightarrow 2$ при $T_c=110 \text{ K}$. Исследование приращения двупреломления и гиационных констант производилось по методу Сенармона и характеристических углов [2] соответственно. Величина пьезооптического коэффициента совпадает с ранее исследованной в работе [3]. Рассчитанные из линейных зависимостей (см. рисунок) компоненты тензоров пьезо- и электрогиациции и электрооптики равны $\beta_{55}'=4.6 \cdot 10^{-13} \text{ m}^2/\text{N}$, $\gamma_{52}=5.5 \cdot 10^{-13} \text{ m/B}$, $r_{52}=2.1 \cdot 10^{-12} \text{ m/B}$ соответственно. Соотношение констант $\beta_{55}'/\pi_{55}=\gamma_{52}/r_{52}$ согласуется с выводами симметрийного анализа и для кристаллов аммониевой сегнетовой соли равно 0.22.

Л и т е р а т у р а

- [1] Влох О. Г. Явления пространственной дисперсии в параметрической кристаллооптике, Львов: Выща школа, 1984. 156 с.
- [2] Бережной И. В. Межвед. сб. «Оптика анизотропных сред». М., 1987, с. 77—79.
- [3] Иванов Н. Р., Хусравов Д., Шувалов Л. А., Щагина Н. М. Изв. АН СССР. Сер. физ., 1979, т. 43, № 8, с. 1691—1701.

Ужгородский
государственный университет
Ужгород

Поступило в Редакцию
9 февраля 1988 г.